

## مورفوتکتونیک ناحیه دهشیر با استفاده از تکنیک‌های ژئومورفومتری

مجتبی یمانی\* - دانشیار دانشکده جغرافیا، دانشگاه تهران  
محمد رضا قاسمی - استادیار پژوهشکده سازمان زمین شناسی  
سید کاظم علوی پناه - استاد دانشکده جغرافیا، دانشگاه تهران  
ابوالقاسم گورابی - دکتری ژئومورفولوژی، دانشکده جغرافیا، دانشگاه تهران

پذیرش مقاله: ۱۳۸۷/۹/۳۰ تأیید نهایی: ۱۳۸۸/۱۱/۲۵

### چکیده

در این بررسی با بهره‌گیری از SRTM مورفوتکتونیک ناحیه دهشیر تفسیر و تبیین شده است. جهت دستیابی به این امر، تجزیه و تحلیل شبکه زهکشی رقومی، ژئومورفومتری رقومی، پردازش تصویر رادار، استخراج خطوطاره‌ها و تجزیه و تحلیل آنها، تجزیه و تحلیل فضایی و آماری داده‌ها صورت پذیرفته است. مدل برجسته سایه‌دار، نیمرخ‌ها، مدل سه‌بعدی، همچنین مدل‌ها و اشکال توپوگرافی، از جمله مدل‌های رقومی خاصی می‌باشند که با بکارگیری الگوریتم‌های خاص از SRTM استخراج و مورد استفاده قرار گرفته‌اند. داده‌های ساختمانی از منابع دیگر مانند نقشه‌های زمین‌شناسی و توپوگرافی، تصاویر ماهواره‌ای و مشاهدات میدانی همراه با تکنیک GIS مکمل روش‌ها و تکنیک‌های فوق بوده‌اند. نتایج این بررسی نشان می‌دهند که روش‌های تجزیه و تحلیل عوارض بصورت رقومی بر روی SRTM که روش پیشنهادی و کاربردی در این مطالعه می‌باشند، توانسته‌اند، با استخراج اشکال و مدل‌های توپوگرافی، شیب و الگوی جهت دامنه (نمودار گلبگی آنها، ارتفاع و طبقات ارتفاعی (نحوه پراکنش آنها)، الگوی شبکه زهکشی و تجزیه و تحلیل ارتباط بین آنها و همچنین انجام محاسبات آماری یک متغیره، چند متغیره، سطح واریوگرام و سیمی واریوگرام ساختار مورفوتکتونیک پیرامون گسل دهشیر را شناسایی و شواهد مورفوتکتونیک موجود در لندفرم‌های آن را از دیدگاه تکتونیک تفسیر نماید. براساس شواهد نوزمین ساخت استخراج شده از SRTM ناحیه پیرامون گسل دهشیر، از قبیل؛ پرتگاه و اثر گسل، شبکه زهکشی منحرف و جایجاشده، الگوی ماندوری شبکه آب، سطوح فرسایشی ارتفاع یافته و فرسایش قهقراپی شبکه زهکشی، بدلیل موقعیت استقرار آنها (در لندفرم‌های کواترنری) همگی از جمله شواهد نوزمین ساخت گسل دهشیرند که دلالت بر فعالیت این گسل در طی کواترنری می‌باشند.

کلیدواژه‌ها: مورفوتکتونیک، گسل دهشیر، SRTM

### مقدمه

روش‌های سطحی همچون؛ تجزیه و تحلیل‌های مورفولوژیکی و سنجش از دور، اطلاعات نسبتاً ارزان و سریعی را که مکمل بررسی‌های زمین‌شناسی میدانی و زمین‌شناسی زیرسطحی می‌باشند، فراهم می‌آورند. تجزیه و تحلیل اشکال توپوگرافی، بویژه خطوطاره‌ها و عناصر خطی به کمک عکس‌های هوایی و تصاویر سنجش از دور در مطالعات زمین‌شناسی ساختمانی قدمتی دیرین داشته (Hobbs, 1912; Frisch, 1997-p118) و ابزاری اساسی در تجزیه و تحلیل‌های تکتونیک می‌باشند (Siegal and Gillespie, 1980, pp118-121; Drury, 1987, pp17-90; Salvi, 1995, 53, pp153-163). اگر چه تفسیر مورفولوژی سطحی برحسب ساختمان زمین‌شناسی بخوبی شناخته شده است (Prost, 1994, 23; Keller and Pinter, 1996, 112)، ولی هنوز مطالعات موردی مستند چندانی در بررسی‌ها و مطالعات مرتبط با کاربرد روش‌های تجزیه

\* E-mail: myamani@ut.ac.ir

و تحلیل رقومی جهت مورفوتکتونیک وجود ندارد.

در بیشتر مطالعات تکتونیک انجام شده به کمک مدل‌های رقومی، از مدل‌های برجستگی ارتفاع<sup>۱</sup> به‌تنهایی (Byrd et al., 1994-p99; Collet et al., 2000, pp447-457) یا ترکیب با تصاویر رقومی و سنجش از دور در مقیاس ناحیه‌ای استفاده شده است (Florinsky, 1996, pp 103-119; Florinsky, 1998, pp 33-60; Florinsky, 2000, pp 87-100). Chorowicz et al., 1999, p15, pp103-119) نمایش سه‌بعدی نقشه‌ها و تصاویر و تهیه مقاطع عرضی و طولی در بررسی‌های مورفوتکتونیک، بدلیل ارتقاء دید ترکیبی جایگاه خاصی دارند. کروایز<sup>۲</sup> و دیگران (۱۹۹۱، ۳۶۷-۳۵۱) از مدل رقومی ارتفاع<sup>۳</sup> جهت تعیین شیب و امتداد در نقشه‌های زمین‌شناسی استفاده نمودند. کوئیک<sup>۴</sup> و دیگران (۱۹۹۸، ۲۴ و ۵۸۳-۵۷۳) ویژگی‌های هندسی سطح گسل را از مدل رقومی ارتفاع محاسبه نمودند. اناری و همکاران (۱۹۹۲، ۱۹ و ۱۷۸-۱۴۷) با محاسبه شیب و جهت به تفسیر مورفوتکتونیک ناحیه‌ای پرداختند. فلورین اسکای (۱۹۹۶، ۱۶ و ۱۱۹) در بررسی نوع ارتباط بین گسل و لندفرم‌های حاصل، از نقشه‌های خمیدگی<sup>۵</sup> برای تشخیص و توصیف خطوط گسل استفاده کرد. کروایز و دیگران (۱۹۹۹، ۲۱ و ۵۳۲-۵۱۱) با بررسی امتداد ژئومورفولوژیکی خط‌الرأس‌ها و شکل هندسی پروفیل‌های طولی عوارض گوناگون که از مدل رقومی ارتفاع استخراج نمودند، به تفسیر لندفرم‌ها و ساختار تکتونیک همت گماشتند. زمانی و حسامی (۲۰۰۴، ۵) با بهره‌گیری از روش آماری چند متغیره و تجزیه و تحلیل خوشه‌ای، ایران را به مناطق تکتونیک مشابه از نظر زمین‌ساختی طبقه‌بندی نموده‌اند. واکر (Richard Thomas Walker, 2005, 1) با بهره‌گیری از تصاویر SRTM، Aster و SPOT و تکنیک سنجش از دور، ایران مرکزی (کرمان، زرنند، بم، ...) را از دیدگاه مورفوتکتونیک و لرزه‌ای مورد مطالعه قرار داده است. رایلی و مور (۱۹۹۳، ۴-۱) از هیستوگرام نقشه‌ای ارتفاع برای تشخیص پدیمت‌های افقی واقع بر دامنه‌ای کوهستانی که در اثر عملکرد گسل‌های عادی بوجود آمده‌اند، استفاده کردند. با تجزیه و تحلیل روند ارتفاعات استخراجی از داده‌های سنجش از دور می‌توان نحوه عملکرد نیروها را در پیدایش اشکال تکتونیک مشخص نمود (Guth, 1997, pp247-281; Doornkamp, 1972; Fraser et al., 1995, 134-137). امروزه با بهرمندی از تکنیک سنجش از دور و تجزیه و تحلیل‌های طیفی تصاویر، شناسایی و بازیابی تحولات تکتونیک و چگونگی تکامل لندفرم‌ها در زمانی کم ممکن می‌باشد (Harrison and Lo, 1996, 419-424).

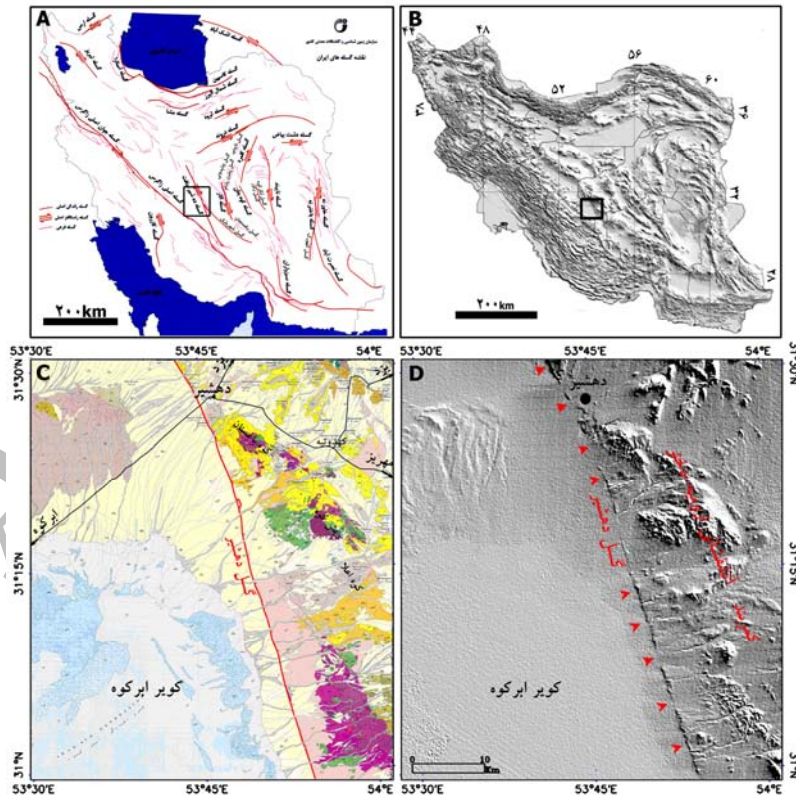
تجزیه و تحلیل‌های رقومی مورد نیاز جهت دستیابی به اهداف این تحقیق (تکتونیک ژئومورفولوژی رقومی<sup>۶</sup>) نیازمند یک سیستم جامع اطلاعاتی و نرم‌افزاری چند تحلیلی می‌باشد، که در واقع اجتماعی از اجزای سه‌گانه؛ زمین‌شناسی ساختمانی، ژئومورفولوژی، استخراج و آنالیز عوارض رقومی<sup>۷</sup> است (Jordan and Csillag, 2001, p163, 2003, p520). این راسا روش‌های استخراج اشکال مورفوتکتونیک از SRTM جهت تجزیه و تحلیل عوارض مورفوتکتونیک ارائه شده‌اند. در بحث این مقاله بیشتر بر تجزیه و تحلیل شواهد استخراج شده از SRTM مربوط به بخش میانی گسل دهشیر می‌باشد. نظر به تنوع اشکال مورفوتکتونیک گسلی (Keller and Pinter, 1996, 33; Burbank and Anderson, 2001, 65) در منطقه مورد بررسی، فقط بعضی از لندفرم‌های مرتبط با گسل مورد بررسی و بحث قرار گرفته‌اند. در این راستا سعی شده با انتخاب موقعیت‌های نمونه از پیرامون گسل دهشیر با تأکید بیشتر بر جزئیات، به تفصیل بر نقش SRTM در مطالعات مورفوتکتونیک پرداخته شود.

1- Shaded Relief  
2- Chorowicz et al  
3- DEMs  
4- Koike  
5- Curvature Maps  
6- The release of Shuttle Radar Topography Mission (SRTM)  
7- Digital Tectonic Geomorphology  
8- Digital Terrain Analysis (DTA)

### ناحیه مورد مطالعه

جهت استخراج اشکال مورفوتکتونیک از SRTM، ناحیه پیرامون گسل دهشیر و کویر ابرقو انتخاب شده است. این ناحیه از نظر مورفوتکتونیک در غرب ایران مرکزی و در امتداد گسل دهشیر گسترده شده است (بربریان، ۱۹۷۹، ۵۶). نوع عوارض مورفولوژیکی و ساختمان زمین‌شناسی و همبندی مناسب واحدهای زمین‌شناسی، موقعیت مناسبی جهت بررسی‌های مورفوتکتونیک در این ناحیه فراهم آورده است. جهت مقایسه نتایج حاصل SRTM بخشی از ناحیه که دقیقاً مطابق بر چهارگوش نقشه زمین‌شناسی ۱:۱۰۰۰۰۰ دهشیر می‌باشد انتخاب شده است (شکل ۱).

گسل دهشیر در شرق کفه ابرقو که جزئی از فروافتادگی بزرگ دریاچه ارومیه - توزلوگل - گاوخونی - سیرجان می‌باشد کشیده شده است (بربریان، ۱۹۷۹، ۵۶). بخش شمالشرقی گسل با بخش جنوبغربی از نظر ریخت‌شناسی بکلی متفاوت بوده و بصورت فلاتی کم شیب با شیب ملایمی به سمت زون گسلی دهشیر گسترده شده است. در این محدوده کوه‌های اعلا، ریش کوه و باغستان و دشت‌های سیلابی آبرفتی واقع بین آنها، تخت کوه‌ها و سیل‌ها و تراورتن‌های کواترنری واقع بر مارن‌های سست که بصورت حفاظی عمل نموده‌اند و همچنین سرپانتین‌های آمیزه رنگین قرار دارند که مجموعاً توپوگرافی بسیار ناهموار و خشنی را پدیدار نموده‌اند (نقشه زمین‌شناسی ۱/۱۰۰۰۰۰ دهشیر، قمشه‌ای و حدادان، ۱۹۹۷). محدوده مورد مطالعه از نظر زمین‌ساختی در بخش شمال شرقی کمربند کوهزایی زاگرس قرار دارد. گسل امتداد لغز دهشیر مهمترین عارضه ساختاری محدوده مورد مطالعه می‌باشد که تنها بخشی از طول ۳۸۰ (آقاباتی، ۱۳۸۳) کیلومتری آن در این قسمت گسترده شده است.



شکل ۱. ناحیه مورد مطالعه

(A) نقشه گسل‌های ایران (قاسمی، ۱۳۸۷) و موقعیت منطقه مورد مطالعه بر روی آن، (B) تصویر برجسته سایه دار ایران و موقعیت ناحیه مورد مطالعه، (C) نقشه زمین‌شناسی ۱:۱۰۰۰۰۰ دهشیر، (D) مدل برجستگی ارتفاع ناحیه مورد مطالعه

## مواد و روش‌ها

جهت انجام این تحقیق از SRTM ۹۰ متر استفاده شده است. SRTM یک پروژه مشترک بین ناسا و آژانس اطلاعاتی - فضایی ملی آمریکا (NGA) برای تهیه تصاویر سه بعدی در دو باند X و C در محدود باند طیفی رادار تهیه می‌گردد. این ماهواره در ۱۱ فوریه ۲۰۰۰ در طی ۱۱ روز ماموریت خود بوسیله شاتل Endeavour بطور موفقیت‌آمیزی به فضا پرتاب شد. تصاویر تهیه شده از این ماهواره حدود ۸۰٪ سطح زمین بین مدارهای ۶۰ درجه شمالی تا ۵۶ درجه جنوبی را پوشش می‌دهند. SRTM در دو فرمت تکمیل شده (Finshed) و ناتمام (Unfinshed) توسط ناسا ارائه شده است. SRTM قادر به تولید DEMs با قدرت تفکیک یک ثانیه قوسی (تقریباً حدود ۳۰ متر) در جهات X-Y و تفکیک ۱۰-۶ متر در راستای Z (ارتفاعی) می‌باشد. امکان دسترسی به SRTM با قدرت تفکیک کامل (۳۰ متر در راستای X-Y و ۱۰-۶ متر در راستای Z) در حال حاضر فقط در محدوده کشور آمریکا ممکن می‌باشد و برای سایر نواحی (۶۰-۰ درجه N,S) امکان دسترسی به SRTM با قدرت تفکیک ۹۰ متر ممکن می‌باشد. علاوه بر SRTM جهت تدقیق نتایج حاصل از تصاویر Aster، ETM+، TM و نقشه‌های زمین‌شناسی در مقیاس‌های ۱:۱۰۰۰۰۰ و ۱:۲۵۰۰۰۰، و توپوگرافی ۱:۲۵۰۰۰ (رقومی) و DEM سازمان نقشه‌برداری ناحیه، مورد بهره‌برداری قرار گرفته‌اند. مدل‌های رقومی ارتفاعی (DEM) سازمان نقشه‌برداری کشور در قطع‌شیت‌های ۱:۲۵۰۰۰ و با قدرت تفکیک مکانی ۱۰ متر و دقت ارتفاعی بیش از ۶ متر می‌باشند. روش بکار گرفته شده در این تحقیق بطور کلی به دو دسته زیر تقسیم شده است:

- تجزیه و تحلیل هندسی و فضایی اشکال مورفولوژیکی مرتبط با شکستگی‌ها

- شناخت عوارض زمین و استخراج پارامترهای آنها از مدل رقومی ارتفاعی جهت بررسی‌های تکتونیک ژئومورفولوژی

## - روش تجزیه و تحلیل هندسی و فضایی اشکال مورفولوژیکی مرتبط با شکستگی‌ها در ناحیه دهشیر

اثر گسستگی‌های ساختمانی در سنگ‌ها، اغلب بصورت اشکال مورفولوژیکی خطی در امتداد فصل مشترک صفحه شکست و سطح زمین پدیدار می‌گردند. از دیدگاه مورفولوژیکی، سیمای خطی یک شکست شامل: (۱) دره‌ها، (۲) خط الرأس‌ها و (۳) شکست‌های شیب می‌باشند. ویژگی‌های هندسی اصلی یک عنصر خطی منفرد در حالت مستقیم، جهت و طول (پیوستگی) و در حالت خط خمیده، خمیدگی آن می‌باشند (شکل ۱) (Jordan and Csillag, 2003, 145). اشکال مورفوتکتونیک متنوعی در امتداد گسل دهشیر شکل گرفته‌اند. به عنوان مثال: دره‌ها، خط‌الرأس‌های نامتقارن، فرونشست‌ها، برآمدگی‌ها و انحنای محور چین‌خوردگی از جمله تأثیرات تکتونیک گسل دهشیر بر مورفولوژی لندفرم‌های ناحیه می‌باشند.

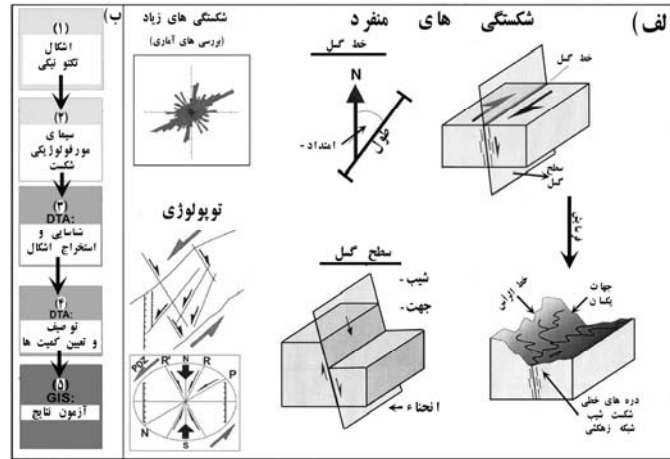
ارتباط فضایی و مکانی بین شکستگی و خطواره‌های ناحیه دهشیر می‌تواند، هم بصورت ترسیمی (شکل ۲) و هم بصورت آماری با تجزیه و تحلیل فضایی فراوانی پارامترهای اشکال خطی توصیف گردد.

گسل دهشیر با توجه به ماهیت خود باعث جابجایی سطوح ژئومورفیک، سطوح فرسایشی، دشت‌ها و مخروط-افکنه‌های آبرفتی شده است. بر این اساس به کمک روش ارائه شده در این تحقیق (جدول ۱) که بر روی SRTM اعمال شده، موقعیت مکانی و فضایی اشکال مورفوتکتونیک مشخص شده‌اند. علاوه بر این، آن دسته از شاخص‌های ژئومورفولوژیکی که در شناسایی و ارزیابی تأثیر تکتونیک مفید واقع می‌شوند، مورد محاسبه قرار گرفته‌اند.

شبکه آنها مرسوم‌ترین شاخص و شناساگر جهت بررسی نقش تکتونیک و تأثیر آن در تحول لندفرم‌ها می‌باشند (گورابی، ۱۳۸۶: ۵). در این بررسی شبکه زهکشی ناحیه از SRTM استخراج شده است. از شبکه‌های زهکشی ناحیه جهت بررسی جابجاشدگی بلوک‌های ساختمانی ناحیه استفاده شده است.

1- <http://glcf.umiacs.umd.edu/index.shtml>

2- Curvature



شکل ۲. الف) عناصر مورفولوژیکی گسل در شکستگی‌های منفرد و مجتمع؛ ب) مراحل روش تجزیه و تحلیل تکتونیک ژئومورفولوژی رقومی

جدول ۱. فلوجارت روش مطالعه و آنالیز رقومی عوارض زمینی در بررسی مورفوتکتونیک ناحیه دهشیر با استفاده از SRTM

روش	خروجی	کاربرد ژئومورفولوژیکی و تفسیر
<b>۱- آنالیز ارتفاعی</b>		
نمایش	نقشه منحنی تراز	تفسیر بصری
	تصویر بصورت تن سیاه و سفید	کنترل طبقه‌بندی، نمایش عملکرد گسل‌ها،
	نمایش سه بعدی	آزمون و کنترل الگوریتم‌ها و تعیین بهترین آنها
نیمرخ	نیمرخ (دو بعدی)	تفسیر بصری
	منحنی سطوح ارتفاعی (سه بعدی)	تغییرات؛ شیب، خمیدگی، برآمدگی
برجستگی	نقشه برجستگی‌ها	تفکیک و تعیین حدود واحدهای ژئومورفولوژی
<b>۲- انجام محاسبات، ژئومورفومتری</b>		
طبقه بندی اشکال نقطه‌ای موجود در سطوح	نقاط ویژه موجود در سطح (قلل، چاله‌ها، گودال‌ها، گردنه‌ها)	کمک به تفسیر بصری عوارض درک توزیع فضایی، تعیین روند و امتداد غالب
شیب	نقشه شیب	طبقه‌بندی و تفسیر توزیع جهات و ارتباط آنها با نیروهای تکتونیک
جهت شیب	نقشه جهت	
خمیدگی	پروفیل، نقشه خمیدگی	طبقه‌بندی (تعیین حدود) تعیین مرز تغییر جهت کشف الگوی غالب
	نقشه منتج از جهات شیب و جریان	
	نقشه شکست شیب	
	نقشه تحذب شیب	
<b>۳- آنالیز شبکه زهکشی رقومی</b>		
گودال‌ها (سطوح صاف)	موقعیت چاله‌ها/گودال‌ها // سطوح صاف	تفسیر بصری (کاربرد بسیار زیادی دارد) الگو جهت، اندازه تراکم زهکشی
استخراج شبکه زهکشی	خطوط دره‌ها	
استخراج خط تقسیم آب	خط تقسیم آب	

۴- ژئومورفومتری رقومی		
توزیع فضایی و مکانی شیب، ارتفاع و...	موارد ۱-۳	آنالیز یک متغیره
	ارتفاع - شیب جهت - شیب	آنالیز دو متغیره
روند شیب ناحیه ای اشکال محلی	تابع روند	آنالیز روند
سطح واریوگرام - سمی واریانس همگونی و ناهمگونی پریودیسیته (آیا الگوهای تکراری در داده‌ها مشاهده می‌شود؟)	خود تصحیحی و عامل واریوگرام	آنالیز خود تصحیحی به کمک واریوگرام
	پریودوگرام	آنالیز بانندی
۵- آنالیز چند متغیره بوسیله GIS		
کمک بسیار زیادی در تفسیر بصری می‌نماید. تصدیق روش (کشف ارتباط توپوگرافی و تکتونیک)	همپوشانی داده‌ها	نمایش سه بعدی تصاویر در قالب مدل رقومی منطقه
		همپوشانی GIS: همپوشانی داده‌های ارتفاعی با سایر لایه‌های استخراجی

## روش شناخت عوارض زمین و استخراج پارامترهای آنها از مدل رقومی ارتفاعی جهت بررسی‌های تکتونیک ژئومورفولوژی ناحیه دهشیر

به منظور استخراج داده‌های تکتونیک ژئومورفولوژی ناحیه دهشیر از SRTM، از روشی منسجم که مبتنی بر چندین مرحله متوالی می‌باشد، استفاده شده است (جدول ۱). در روش مذکور ملاحظات زیر مورد توجه قرار گرفته است:

- تعیین خصائص هندسی کمی لندفرم‌های ناحیه دهشیر (مورفولوژی کمی)
  - فراهم آوردن خروجی‌های تجدیدپذیر و قابل استفاده در مراحل بعدی (انجام تجزیه و تحلیل‌ها از روش‌های ساده به مشکل می‌باشند)
  - استفاده از داده‌های چند منبعی در پایگاه داده‌ها و قابل دسترس بودن سلسله وسیعی از روش‌ها بصورت یکپارچه
  - تجزیه و تحلیل عوارض رقومی (DTA) در محیط GIS
- برای بررسی مؤلفه‌ها و اجزای تکتونیک ژئومورفولوژی رقومی در ناحیه دهشیر کارهای انجام شده عبارتند از: (۱) مورفولوژی رقومی (۲) تجزیه و تحلیل شبکه زهکشی رقومی (۳) ژئومورفومتری رقومی (۴) پردازش تصاویر رقومی (۵) استخراج خطواره‌ها و تجزیه و تحلیل آنها (۶) تجزیه و تحلیل آماری و فضایی - مکانی. علاوه بر این، روش‌های رقومی خاص و ویژه پردازش مدل رقومی ارتفاع، مانند: مدل‌های برجستگی سایه‌دار<sup>۱</sup>، نیمرخ عرضی<sup>۲</sup> و مدل نمایش سه بعدی نیز بر روی SRTM استفاده شده است. جداول ۱ و ۲ و شکل ۲ روش و طرز عمل شناسایی و استخراج لندفرم‌های مرتبط با گسل و تفسیر تکتونیک مرتبط با آنها را نشان می‌دهد.

## روش تجزیه و تحلیل داده‌های ارتفاعی ناحیه دهشیر

ویژگی‌های عوارض زمینی ناحیه دهشیر که از سایر مدل‌های رقومی محاسبه شده‌اند، تحت تأثیر منابع داده، روش درون‌یابی<sup>۳</sup> و نوع الگوریتم محاسبه کننده (بعنوان مثال الگوریتم محاسبه کننده شیب<sup>۴</sup>) قرار دارند. از جمله روش‌های درون‌یابی، درون‌یابی شبکه‌ی قاعده مثلثی<sup>۵</sup> (TIN) می‌باشد. این روش می‌تواند تغییرات غیر منتظره‌ای در توپوگرافی، که بویژه در بررسی تکتونیک ژئومورفولوژی مفید است، بوجود آورد (McCullagh, 1988, p12, pp747-779). در SRTM مورد استفاده این نقیصه وجود ندارد.

1- Shaded Relief Models  
2- Digital Cross-Sections  
3- Interpolation  
4- Gradient Calculation Algorithm  
5- Triangular Irregular Network(TIN)

این نقیصه وجود ندارد.

ساده‌ترین تجزیه و تحلیل‌های مورفولوژیکی، داده‌های ارتفاعی را مورد مطالعه قرار می‌دهند. در روش بکار گرفته شده جهت آنالیز ارتفاعی ناحیه دهشیر، از SRTM برای بازیابی و بازدید بصری، و بصورت نقشه‌های خطوط تراز<sup>۱</sup>، تصاویر با تن خاکستری<sup>۲</sup>، نمایش‌های سه بعدی عوارض سطحی<sup>۳</sup>، مدل برجستگی سایه دار<sup>۴</sup> و یا ترکیبی از آنها استفاده شده‌اند.

جدول ۲. روش‌های پردازش تصاویر در مدل زمینی جهت مطالعه اشکال مورفوتکتونیک به استفاده از SRTM

پردازش تصاویر		روش
خروجی - کاربرد		
تصویر با تن خاکستری با کیفیت بالا- تفکیک مرزها، کشف الگوها، کمک در شناسایی واحدهای مورفولوژیکی	بسط تصویر	هیستوگرام
نقشه داده‌های طبقه‌بندی شده - جهت مقایسه با نقشه‌های پایه، تصحیح الگوریتم مورد استفاده در صورت لزوم و...	طبقه‌بندی	
فراوانی، ترسیم هیستوگرام، پارامترهای آماری (میانگین، انحراف معیار، ...) - ارتفاع طبقه بندی رقومی، تحلیل ارتفاعی، تجزیه و تحلیل پیکسلی پیرامون گسل، برقرای تناظر یک به یک بین تصاویر و مدل رقومی ارتفاع و کشف ارتباط بین آنها و...	محاسباتی	
تولید تصاویر با کیفیت بالا- کمک در طبقه‌بندی داده‌ها، کشف الگوها، استخراج عوارض مورفولوژیکی انتخابی، برجسته نمودن بعضی از پارامترهای مورفولوژی یا انتخاب پارامتر مورد نظر و ...	نرم کننده، بافت، مورفولوژی	فیلترینگ تصویر
	حداکثر، الگو، خطی، جهت (جهت ۸ گانه)	
گذر بالا، گذر پائین،		
پردازش ژئومتریک - دید بصری	شیب (۳*۳)، (۵*۵) - درجه‌ات (تا ۷*۷)	

برای بالا بردن درک و عمق بصری در مطالعه اشکال کوچک و ظریف مورفولوژیکی ناحیه دهشیر بویژه در نواحی حوضه‌های هموار (محدوده هموار گسل دهشیر) اغراق عمودی<sup>۵</sup> ارتفاع مورد استفاده قرار گرفته است. ترسیم نیمرخ عرضی در امتداد مقاطع زمین‌شناسی، جهت مطالعه شیب (شرائط منفی و مثبت) بعنوان مکمل (این روش)، نقش مهمی در شناسایی و تجزیه و تحلیل‌ها داشته است (شیب، تغییرات شیب و تحدب شیب، جدول ۲).

### - روش انجام محاسبات مورفومتری (هندسی تشخیص دهنده عددی) در ناحیه دهشیر

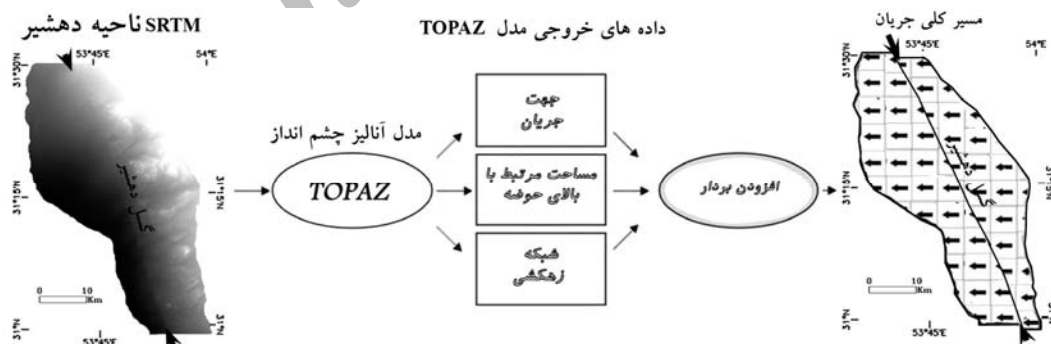
تعیین موقعیت نقاط خاص سطوح مانند؛ مرتفع‌ترین (قلل)، پست‌ترین (گودال‌ها)، گردنه‌ها و گذرگاهها، شکست‌های شیب و خط‌الرأس‌ها در تجزیه و تحلیل‌های ژئومورفولوژیکی رقومی امری بنیادین می‌باشد (Peucker and Douglas, 1975). قلل و گودال‌های ناحیه دهشیر با بکارگیری الگوریتم «مرتفع‌ترین» محاسبه شده‌اند. در این مطالعه، مرتفع‌ترین موقعیت‌ها (قلل - خط‌الرأس‌ها) جهت تجزیه و تحلیل روند مورفولوژیکی عوارض ناحیه‌ای با اتصال و پیوند دادن آنها مورد استفاده قرار گرفته است. موقعیت گذرگاه‌ها با در نظر گرفتن کمترین ارتفاع محلی در امتداد خط‌الرأس‌ها و بوسیله تجزیه و تحلیل شبکه زهکشی رقومی تعیین شده است. شکست‌های شیب با توجه به تغییرات شیب منحنی پروفیل طولی ترسیم شده در جهت عمود بر منحنی‌های تراز و با در نظر گرفتن آستانه تغییر شیب مشخص شده است. خطوط دره‌ها و خط‌الرأس‌ها نیز بوسیله روش تجزیه و تحلیل شبکه زهکشی رقومی استخراج شده‌اند.

1- contour maps  
2- grey-scale images  
3- 3-D surface views  
4- shaded relief models  
5- Vertical Exaggeration  
6- 'Higher Than' Algorithms

در این مطالعه جهت عوارض و مقادیر خمیدگی، بعنوان پارامترهای جهت دار مأخوذ از SRTM محاسبه شده‌اند. جهت عوارض بر اساس تابع تعریف شده در نرم افزارهای Ilwis3.3 و ENVI4.2 محاسبه شده است (آزیموت زاویه بر حسب درجه و در جهت عقربه‌های ساعت از جهت شمال اندازه‌گیری شده است). همچنین برای محاسبه خمیدگی (خمیدگی مقطع سطح نرمال در جهت شیب) و خمیدگی تانژانتی (اندازه‌گیری شده در سطح نرمال در جهت عمودی بر شیب) از توابع موجود در بخش کمک<sup>۱</sup> نرم افزار ENVI4.2 استفاده شده است. انحناء پروفیل، تغییرات در زاویه شیب را نشان می‌دهد و جهت تشخیص شکست‌های شیب در تفسیر مورفوتکتونیک ناحیه بکار برده شده است. منحنی تانژانتیال در جهت عمود بر شیب اندازه‌گیری شده و بنابر این خطوط خطالرأس و دره‌ها اغلب با مقادیر بالای انحنای تانژانتیال مشخص می‌گردند. دومین پارامتر مأخوذ در جهات محوری ( $f_{xy}$  و  $f_{yy}$ ) و ترکیبی از دو مشتق ثانوی ( $f_{xy}$ ) برای شناسایی و تشخیص شکست‌های شیب در جهات اصلی بکار رفته است. پس از محاسبه اولین پارامتر از تابع پروایت<sup>۲</sup>، برای هموارسازی<sup>۳</sup> مقادیر و نتیجه مطلوب‌تر، از فیلترهای میانگین استفاده شده است و همچنین برای محاسبه پارامتر دوم از نرم افزار ILWIS 3.4 کمک گرفته شده است.

### - روش تجزیه و تحلیل شبکه زهکشی رومی ناحیه دهشیر

تجزیه و تحلیل شبکه زهکشی نقشه‌ای در تکتونیک ژئومورفولوژی دارد (Deffontaines and Chorowicz, 1991, pp237-263, p194). درزها و شکستگی‌ها جزء قلمروهای بسست و ضعیف سنگ‌ها بوده و برای فرسایش مستعد می‌باشند. بنابراین اغلب دره‌ها و خطوط زهکشی در امتداد گسل‌ها و مناطق شکستگی‌ها شکل می‌گیرند. در نتیجه، با مسیریابی جریان آبها و بکارگیری الگوریتم شبکه زهکشی در مدل‌های هیدرولوژیکی می‌توان با تجزیه و تحلیل شبکه زهکشی به ردیابی شکست‌های مورفوتکتونیک پرداخت (جدول ۱ و ۲- بخش ۳). استخراج شبکه زهکشی در این مطالعه براساس مدل TOPAZ (TOographic PArameteriZation) که مدلی جهت پارامتری نمودن توپوگرافی می‌باشد و توسط مارتز و گاربریچ<sup>۴</sup> (۱۹۹۲، ۱۷۶۱-۷۴۷) ارائه و تکمیل شده، انجام گرفته است. استخراج کانال‌ها بطور خودکار و در محیط نرم افزار Ilwis3.4 بر روی SRTM اجرا شده است. از تغییر الگوی شبکه زهکشی در رسوبات کواترنری در دو طرف بلوک گسلی نیز جهت تفسیر مکانسیم گسل در طی کواترنری استفاده شده است (شکل شماره ۳).



شکل ۳. مدل توپاز (TOographic PArameteriZation) جهت استخراج شبکه زهکشی ناحیه دهشیر

### - روش تجزیه و تحلیل ژئومورفومتری رومی ناحیه دهشیر

بطور کلی پارامترهای ارتفاعی مورد استفاده در این مطالعه را می‌توان به دو گروه کلی تقسیم نمود (جدول ۳).

- 1- Help of Software (Ilwis3.3&ENVI4.2)
- 2- Prewitt operators
- 3- smoothing effect
- 4- Garbrecht



جدول ۳. پارامترهای ارتفاعی مورد استفاده در تجزیه و تحلیل مورفوتکتونیک ناحیه دهشیر

الف) اشکال توپوگرافی	ب) مدل‌های توپوگرافی
۱- قله‌ها	۱- شیب
۲- خط الرأس‌ها	۲- جهت
۳- گذرگاهها و گردنه‌ها	۳- برجستگی سایه دار
۴- سطوح صاف	۴- تحدب پروفیل
۵- کانال‌ها و آبراهه‌ها	۵- تحدب سطح
۶- گودالها	۶- تحدب در جهت طول جغرافیایی
	۷- تحدب نیمرخ
	۸- انحناى حداقل
	۸- انحناى حداکثر
	۹- خطای RMS

در این مرحله با تجزیه و تحلیل یک متغیره (مطالعه آماری و توزیع فضایی و مکانی، تهیه هیستوگرام نقشه پارامترها، ترسیم نمودار گلبگی<sup>۱</sup>) و تجزیه و تحلیل روابط دو متغیره و چند متغیره بین متغیرها (نقشه‌های شیب، جهات دامنه و برجستگی) و بالاخره بافت عوارض زمینی به‌وسیله روش‌های آماری فضایی- مکانی و تکنیک‌های تجزیه و تحلیل شبکه و همچنین تجزیه و تحلیل روند و خود همبستگی صورت پذیرفته است (جدول ۱).

### - روش پردازش تصاویر رقومی داده‌های ناحیه دهشیر

از آنجائیکه SRTM و هر تصویر گرفته شده از آن می‌تواند بصورت تصاویر رستری نمایش داده شوند، بنابراین می‌توان از روش‌های پردازش تصاویر رقومی که جهت افزایش تشخیص و تمیز آشکار بین اشکال در یک چشم انداز بر روی تصاویر رستری صورت می‌گیرند، بر روی مدل رقومی ارتفاع نیز استفاده کرد (جدول ۲).

استفاده از فیلترهای مختلف یکی از تکنیک‌های موثر جهت ارتقاء دید بصری و شناسایی مرز واحدهای مورفوتکتونیکی بوده است (جدول ۲). اندازه هسته فیلتر<sup>۲</sup> که برای نرم کردن انتخاب شده بر اساس مقیاس و نوع اشکالی که مورد مطالعه قرار می‌گیرند متفاوت می‌باشد. دقت استخراج کمی ویژگی‌ها از تصاویر (بعنوان مثال، زاویه، جهت) با بکار بستن فیلترهای اکثریت<sup>۳</sup> بالا برده شده است (جدول ۲). روش‌های سایه‌زدن تپه‌ها به منظور تولید نقشه‌های برجستگی تکنیکی خاص و ویژه بوده که بر روی مدل رقومی ارتفاع صورت می‌گیرد. این نقشه‌ها کمک بسیار زیادی در تجزیه و تحلیل‌های مورفوتکتونیکی ناحیه داشته است. سایه‌زدن تپه‌ها موجب افزایش تباین اشکال خیلی ظریف در یک تصویر شده و تشخیص و تفکیک عوارض را سهل‌تر نموده است.

### - روش تجزیه و تحلیل فضایی - مکانی خطواره‌های ناحیه دهشیر

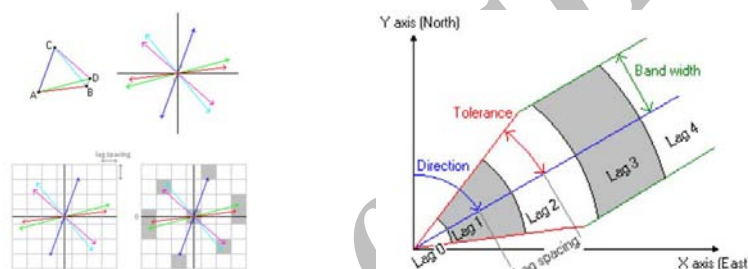
خطواره‌ها بعنوان عناصر خطی مستقیم، قابل مشاهده در سطح زمین که بیانگر پدیده‌های زمین‌شناسی یا ژئومورفولوژیکی می‌باشند، تعریف شده‌اند (Clark and Wilson, 1994, p20, pp1237-1258). در تجزیه و تحلیل‌های ژئومورفومتری، یک شکل خطی ممکن است، مانند؛ دره‌ها، خط‌الرأس‌ها، شکست شیب یا خطوط منحنی فقط منشاء هندسی داشته و بیانگر تغییرات ارتفاع در سطح زمین باشند (شکل ۱). بر حسب ساختمان مدل رقومی، هر خطواره سری متداوم و پشت سرهمی از پیکسل‌های هم ارزش در سطح زمین می‌باشد (Koikeet al., 1998, p24). دو روش استخراج خطواره‌ها که در این مطالعه بکار برده شده شامل؛ (۱) روش خودکار استخراج شبکه زهکشی رقومی برای شناسایی دره‌ها و خط‌الرأس‌ها و (۲) تفسیر خطواره‌های دارای تاثیر بر یکدیگر در مدل‌های زمینی بوده است. در این مطالعه، ماهیت خطواره براساس مشاهدات میدانی و تصاویر با قدرت تفکیک بالا مورد ارزیابی و کنترل قرار گرفته است.

1- Rose Diagram  
2- Kernel Size  
3- Majority Filters

## – سطح واریوگرام<sup>۱</sup>، سمی واریانس و مدل سمی واریوگرام<sup>۲</sup>

نقشه‌های رستری بعنوان ورودی جهت تولید نقشه سطح واریوگرام و محاسبه سمی واریوگرام ناحیه ده‌شیراستفاده شده‌اند. نقشه واریوگرام، نوعی نقشه رستری با ژئورفرنسی خاص، برای به تصویر کشیدن احتمالی ناهمگنی (آنیزوتروپی) و همگنی (ایزوتروپی) داده‌ها و تعیین محور آنیزوتروپی می‌باشد.

خروجی تابع سطح واریوگرام از یک نقشه رستری، بشکل یک نقشه رستری با مبدأ ای در مرکز و پیکسل‌های در پیرامون آن می‌باشد (اندازه تعریف شده<sup>۳</sup> هر پیکسل بوسیله کاربر تعیین می‌گردد). تعداد پیکسل‌ها در سطح خروجی (از پیکسل مرکزی در مبدأ بطرف محورهای مثبت و منفی X و Y) بستگی به فاصله لاگ تعریف شده توسط کاربر دارد، همچنین تعداد و توزیع کلاس‌های پیرامون مبدأ علاوه بر عامل مذکور با کیفیت داده‌ها ارتباط نزدیکی دارد. بنابراین هر پیکسل در واریوگرام بیانگر جهت طبقه (کلاس) بوده و مقدار مرتبط با خود را در بر دارد (شکل ۴).



شکل ۴. نحوی تعیین موقعیت نقاط در سطح واریوگرام و فواصل بین پیکسل‌ها

جهت نمایش مختصات و موقعیت مبدأ در واریوگرام و درک توزیع داده‌ها و کشف الگوی فضایی و همچنین تعیین جهت غالب، خطوط شبکه با فواصل مساوی با لاگ‌های واریوگرام، بدان اضافه می‌گردد. این عامل در تعیین مبدأ واریوگرام اهمیت زیادی دارد. عموماً انتظار می‌رود مقادیر واریوگرام نزدیک به مبدأ در نقشه واریوگرام مقادیری کوچک (با رنگ آبی در حالت نمایشی پژوهدو کالر) و در فواصل دورتر از آن بزرگتر باشد.

وقتی هیچ ناهمگنی و آنیزوتروپی (یعنی حالت ایزوتروپ) وجود نداشته باشد، مقادیر واریوگرام از مبدأ بطرف همه جهات بتدریج افزایش می‌یابند. در این صورت اشکال شبه دایره‌ای از مبدأ بطرف خارج بصورت تغییرات رنگ بترتیب از رنگ آبی به سبز و سپس قرمز در اطراف مشخص می‌گردد. چنانچه داده‌ها آنیزوتروپ باشند (مثلاً در اثر تاثیر تکنیک)، در این صورت شکلی شبیه به بیضی که در راستای قطر کوچک آن مقادیر واریوگرام کم و در نتیجه تغییرات رنگ کم (آبی) و در بعد دیگر – عمود بر آن – افزایش چشمگیری (آبی در مبدأ و سبز و قرمز بترتیب بطرف اطراف) در مقادیر واریوگرام دیده می‌شود.

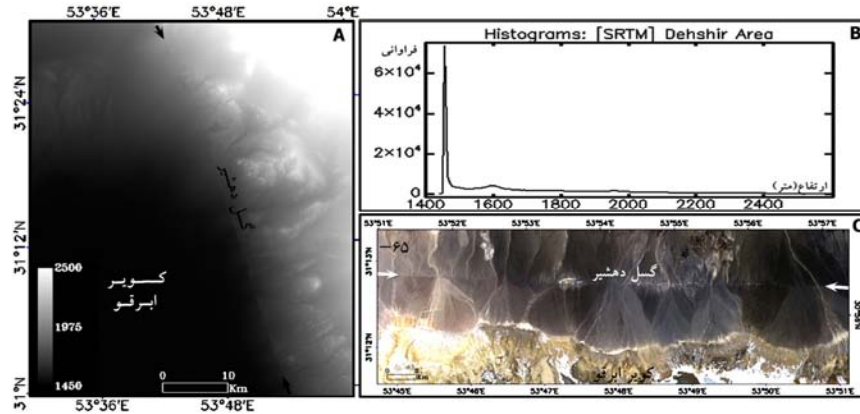
پس از تولید واریوگرام از نقشه‌های استخراج شده از SRTM ناحیه ده‌شیر (ارتفاع، جهت، شبکه زهکشی) تغییرات سمی – واریوگرام‌های آنها در جهات X و Y و همچنین میزان همبستگی بین آنها در این جهات محاسبه شده‌اند. جهت محاسبه میزان خود همبستگی<sup>۵</sup> و مقادیر سمی واریوگرام نقشه‌های مذکور از مدل خود همبستگی سمی واریوگرام<sup>۶</sup> استفاده شده است. در مطالعات مورفوتکتونیک جهت تعیین الگوی مورفوتکتونیک غالب و همچنین تعیین جهت استرس موجود و استرین حاصل و همچنین الگوی تکراری داده‌ها می‌توان از واریوگرام و مدل سمی واریوگرام استفاده و با استخراج مدل ناحیه‌ای حاصل از نقشه‌ها کمک شایانی به بررسی‌های ساختمانی نمود.

1- Variogram surface  
2- Semi-variogram Model  
3- Lag Spacing  
4- Grid Lines  
5- AutoCorrelation  
6- Autocorrelation - Semivariance Model

## یافته‌های تحقیق

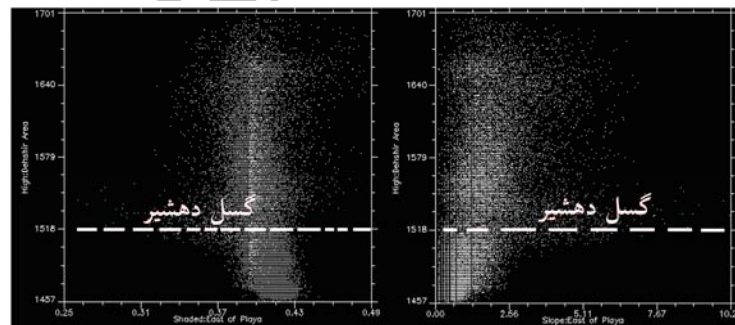
## آنالیز عوارض رقومی

**آنالیز ارتفاع:** هیستوگرام مدل رقومی ارتفاع، فراوانی وقوع نقاط ارتفاعی در منطقه مورد مطالعه را نشان می‌دهد. شکست در هیپسوگراف می‌تواند بیانگر وجود گسل در یک ناحیه باشد (شکل ۵-۸).



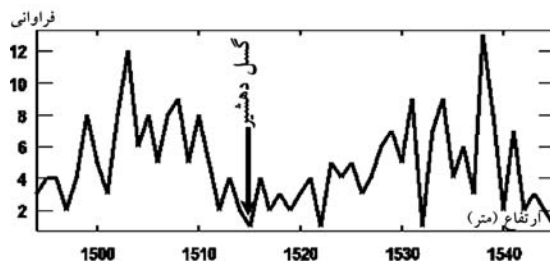
شکل ۵. (A) تصویر SRTM ناحیه دهشیر (B) هیستوگرام استخراج شده از SRTM ناحیه دهشیر، (C) تصویر Aster123 گسل دهشیر (محدوده A)

همانطور که در هیستوگرام ناحیه دهشیر نشان داده شده است ارتفاع ۳۰-۱۵۲۵ بیشترین فراوانی در ناحیه مورد بررسی را دارند. تصویر SRTM ناحیه، بیانگر افزایش ارتفاع از جنوب غرب به سمت شمال شرق را نشان می‌دهد (شکل ۵-۸). در بین تغییرات ارتفاع در برابر سایر پارامترهای مدل‌های توپوگرافی (شیب، جهت، برجستگی، تحدب‌های پروفیل، ...)، تغییر ارتفاع در برابر شیب و برجستگی ارتفاع نمود ظاهری بیشتری در نمایش موقعیت گسل دهشیر داشته است (شکل ۶).



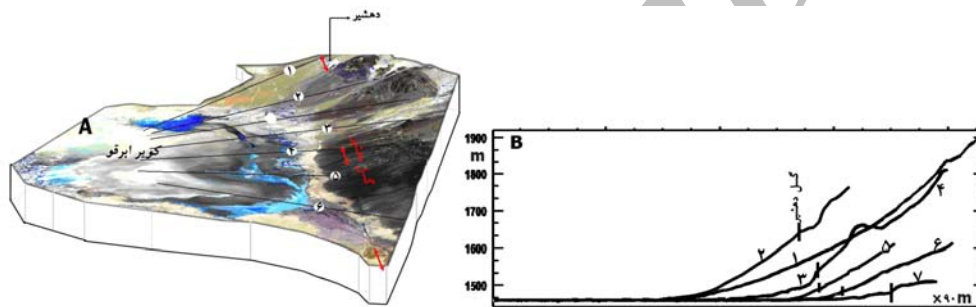
شکل ۶. رابطه شیب- ارتفاع (راست) و برجستگی- ارتفاع (چپ) در راستای گسل دهشیر در شرق کویر ابرقو

از هیپسوگراف و هیپسومتری سطوح مجاور گسل دهشیر جهت تمایز سطوح شکستگی و همچنین میزان اختلاف سطح ایجاد شده در دو بلوک گسلی استفاده شده است (شکل ۷). استفاده از روش هیپسومتری و ترسیم هیپسوگراف میزان دقت اندازه‌گیری شده در ارزیابی حرکات عمودی فرادیواره و فرودیواره گسل دهشیر را افزایش داده است. در روش‌های مرسوم و متداول ارزیابی تغییرات ارتفاع در برابر مسافت، از ترسیم پروفیل‌های عمود بر امتداد گسل استفاده می‌شود که بدلیل انتخاب فقط یک پیکسل (کوچکترین واحد نقشه) در راستای خط، احتمال خطا و ارزیابی ارتفاع شکست زیاد می‌باشد. ولی در تکنیک هیپسومتری و ترسیم هیپسوگراف خط جای خود را به سطح داده و نواحی بیشتری نسبت به یکدیگر مقایسه می‌گردند این امر علاوه بر افزایش دقت در ارزیابی موقعیت ارتفاع شکست، می‌تواند مورفولوژی محل تماس سطوح فرادیواره و فرودیواره (پرتگاه گسل) را نیز بهتر مشخص نماید (شکل ۷).



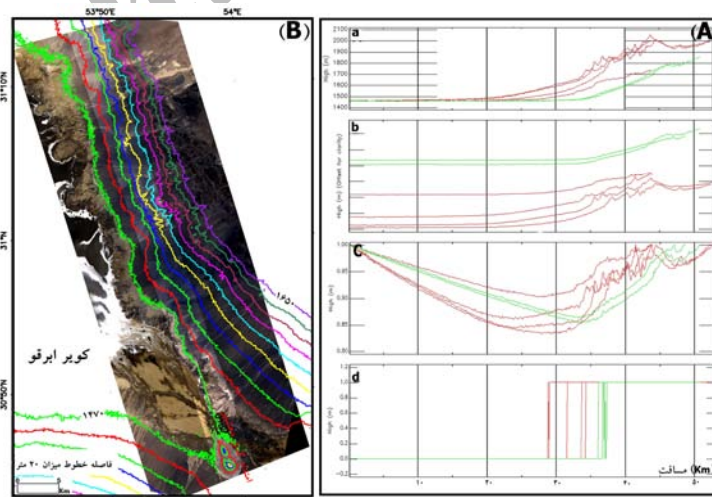
شکل ۷. تاثیر گسل دهشیر بر هیپسوگراف فرادیواره و فرودیواره گسل دهشیر در شرق کویر ابرقو

یکی از محاسن کاربرد SRTM، ارتقاء دید بصری انواع تصاویر می‌باشد. تکنیک کار بدین صورت است که، پیکسل‌های هر تصویر به اندازه مقادیر پیکسل‌های متناظر در SRTM ناحیه آن تصویر مرتفع می‌گردد (شکل ۸- A).



شکل ۸. مدل سه بعدی تصویر ETM+ ناحیه دهشیر با درجه اغراق ۸× عمودی (A) و نیمرخ‌های طولی عمود بر امتداد گسل دهشیر (B) (نک A)

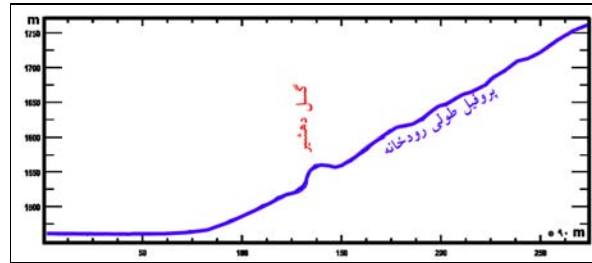
تغییرات ارتفاعی و نقش گسل دهشیر در فروافتادگی کفه ابرقو بوسیله مقطع عرضی در راستای شمال شرقی - جنوب غربی در اشکال ۸<sub>B</sub> و ۹<sub>A</sub> نشان داده شده‌اند.



شکل ۹. (A) تکنیک‌های مختلف ترسیم پروفیل: (a) نرمال (b) طبقه‌بندی بدون همپوشانی (c) طبقه‌بندی زنجیروار (d) طبقه‌بندی دوگانه<sup>۳</sup>، (B) منحنی‌های میزان استخراج شده از SRTM که بر روی تصویر Aster123 گسل دهشیر همپوشانی شده‌اند، منحنی‌های تراز اثر گسل را تعقیب می‌کنند.

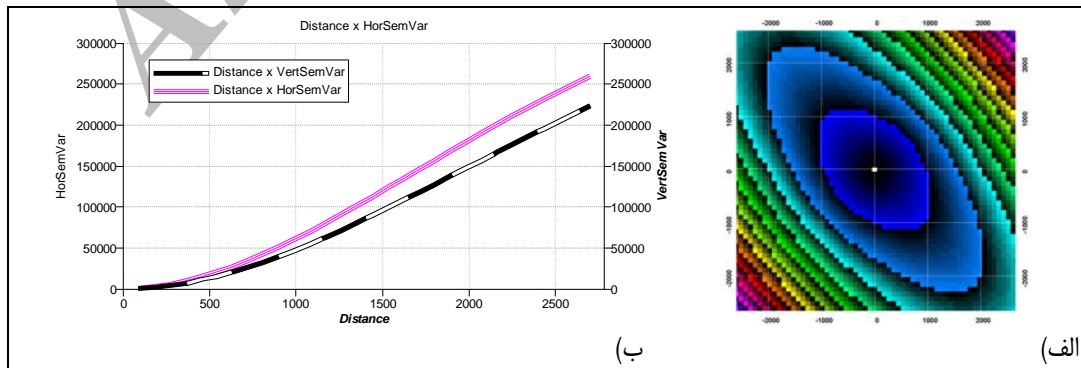
1- Plot Stack Offset Classification  
2- Continuum Removed Classification  
3- Binary Encoding Classification

با استفاده از تکنیک‌های مختلف ترسیم پروفیل در جهت عمود بر گسل دهشیر موقعیت این گسل و میزان فروافتادگی و کارایی آنها مشخص شده است (شکل ۹-۸). با تکنیک ترسیم نیمرخ‌های سوپرایمپوزه در جهت عمود بر امتداد گسل دهشیر تغییر موقعیت گسل و میزان اختلاف ارتفاع ایجاد شده (پرتگاه گسل) مشخص شده است (شکل ۸-۸ و ۹-۸). این تکنیک جهت ترسیم «پروفیل‌های عرضی و طولی مسیل‌ها» نیز مورد استفاده قرار گرفته است (شکل ۱۰).



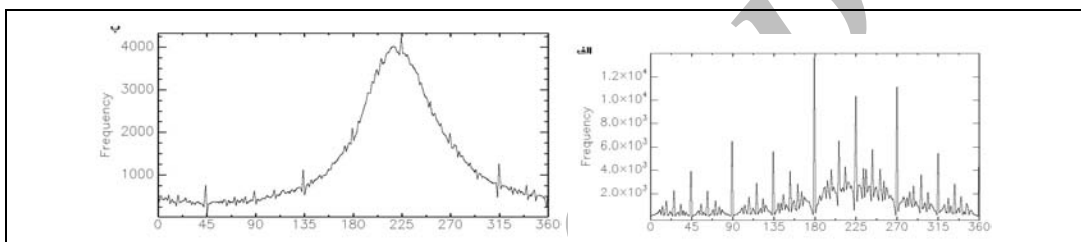
شکل ۱۰. مورفولوژی گسل دهشیر در پروفیل طولی مسیل شرق کویر ابرقو

الگوی خطوط تراز استخراج شده از SRTM ناحیه دهشیر موقعیت گسل دهشیر را بخوبی نشان می‌دهند. در گسل‌های عادی خطوط تراز پرتگاه گسل را تعقیب نموده و بموازات آن کشیده می‌شوند. براین اساس گسل دهشیر گسلی نرمال می‌باشد. الگوی خطوط تراز ناحیه دهشیر همچنین الگوی مورفولوژیکی مخروط افکنه‌های ناحیه را نشان می‌دهند. براین اساس رأس مخروط‌ها در فرادیواره به شمالغرب و قاعده آنها بطرف جنوبشرق کشیدگی پیدا نموده است. همچنین الگوی شبکه آنها بطور غیر مستقیم از الگوی خطوط تراز تبعیت می‌کند. در ناحیه دهشیر خطوط تراز در محل گسل دهشیر و در حفاصل فرادیواره و فرودیواره الگوی مئاندری پیدا نموده‌اند. با توجه به دو مورد اخیر بخش فرادیواره گسل دهشیر بطرف جنوبشرق و فرودیواره بطرف شمالغرب حرکت نموده است (گسل امتدادی راستالغز عادی). با اعمال دوبار متوالی فیلتر میانگین بر روی SRTM، واریوگرام منطقه مورد مطالعه استخراج شده است (شکل ۱۱-الف). همانطور که در واریوگرام بخوبی مشخص شده است بیضوی واریوگرام در جهت شمالغربی- جنوبشرقی کشیدگی دارد. واریوگرام حاصل جهت الگوی مورفوتکتونیک ناحیه را مشخص می‌نماید. با انجام خود همبستگی سمی واریانس، بر روی SRTM نتایج مشابهی حاصل آمده است. نتایج این امر در جهات X (افقی) و Y (عمودی) در شکل شماره ۱۱-ب آورده شده است.



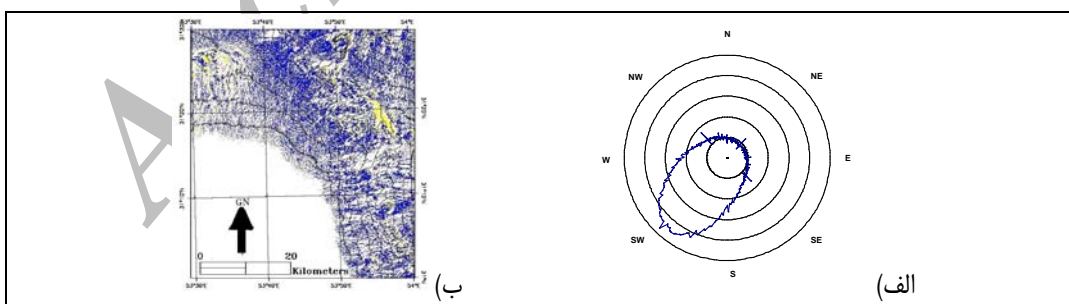
شکل ۱۱. الف) واریوگرام ناحیه دهشیر، ب) نمودار اتوکورلیشن سمی واریانس داده‌های نقشه واریوگرام (بدون تکرار همراه با افزایش تدریجی)

**آنالیز جهت:** جهت شمال غربی - جنوب شرقی در تصویر برجستگی سایه‌دار دیده شده است (شکل ۱-D). در محاسبه جهات دامنه‌ها خطای سیستماتیکی بصورت حداکثرهایی در هیستوگرام نقشه جهات در مقادیر مضاربی از آزیموت ۴۵ درجه بدلیل استخراج عددی روی شبکه مستطیلی بوجود می‌آید (شکل ۱۲-الف)، با اعمال فیلتر میانگین ۵×۵ بر روی نقشه جهات این خطا رفع و تا حد ممکن کاهش یافته است (شکل ۱۲-ب). نمودار گلبرگی (شکل ۱۳-الف) جهات ناحیه، که برای شیب‌های بیشتر از یک درجه محاسبه شده است، را نشان می‌دهد و بیانگر جهت اصلی رو به جنوب غربی (۲۲۵-۲۰۲/۵ درجه) می‌باشد. بالطبع نقاط متقابل آنها (۵۰-۲۲/۵ درجه) شمال شرقی می‌باشد که دامنه‌های مقابل را پوشش می‌دهند.



شکل ۱۲. توزیع جهات قبل (الف) و بعد (ب) از اعمال فیلتر

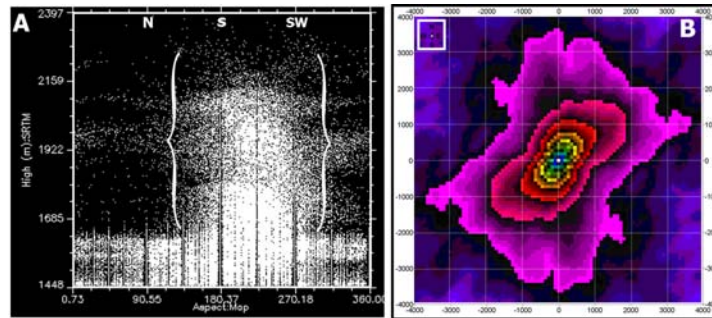
فقدان یا کمی سطوحی عوارض رو به شمال غربی و جنوب شرقی در روز دیاگرام (شکل ۱۳-الف) اشاره بر این دارد که اشکال مورفولوژیکی جهت دار شمال غربی - جنوب شرقی (بعبارتی در امتداد NE-SW) در منطقه از ویژگی‌های ناحیه مورد مطالعه نمی‌باشد (مقایسه کنید با شکل شماره ۱۴). براساس روز دیاگرام (شکل ۱۳-الف) جهات به دو کلاس بین ۵۰-۲۲/۵ (دامنه‌های قرینه) و ۲۰۲/۵-۲۲۵ تقسیم شده‌اند. قله در نمودار توزیع جهات (شکل ۱۲-ب)، آزیموت ۲۲۵ درجه) مربوط به فراوانی دامنه‌های جنوب غربی سلسله رشته ارتفاعات کشیده شده در جهت شمال غربی - جنوب شرقی می‌باشند. حاشیه نواحی مذکور بوسیله حواشی خطی کشیده نیز محدود شده‌اند (شکل ۱D). دامنه‌های جهات یکسان بطور عادی حاشیه‌های خطی NNW-SSE و یا NW-SE دارند، و اشاره بر تأثیر تکتونیک بر مورفولوژی را دارد.



شکل ۱۳. نمودار گلبرگی جهات (الف)، و نقشه جهات ناحیه دهشیر (ب)

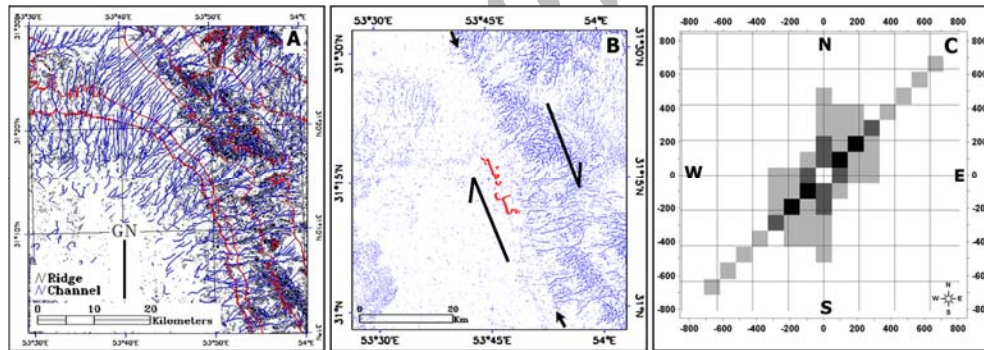
محاسبه واریوگرام سطح حاصل از نقشه جهت (شکل ۱۴B) نتایج مشابهی را در برداشته و می‌تواند بعنوان مکمل محاسبات پیشین محسوب گردد و بیانگر توزیع NE-SW جهات در منطقه مورد مطالعه می‌باشد. ارزیابی رابطه جهت - ارتفاع بیانگر جهات جنوب - جنوب غرب ناحیه کوهستانی (>۱۶۸۵m) در ناحیه دهشیر و عمود بر زون همگرایی عربستان - توران می‌باشند.





شکل ۱۴. (A) جهت غالب ارتفاعات بیش از ۱۶۸۵ متری ناحیه کوهستانی دهشیر در جهت جنوب- جنوبغربی می‌باشد (ژئومورفومتری رقمی)، (B) واریوگرام سطح حاصل از نقشه جهت در ناحیه کویر ابرقو (دهشیر) جهات غالب (جنوب- جنوبغربی) را نشان می‌دهند.

**آنالیز شبکه زهکشی:** نتیجه استخراج شبکه زهکشی براساس مدل TOPAZ و به کمک نرم افزار ILWIS 3.3 و ENVI 4.2 بیانگر گسترش شبکه زهکشی در راستای SW-NE را دارد (شکل A ۱۶). الگوی شبکه زهکشی در نواحی پست ناحیه الگویی موازی است. بررسی شبکه زهکشی در محل اثر گسل دهشیر الگوی مئاندری ناشی از جابجاشدگی راستالغز امتدادی گسل دهشیر را آشکار می‌نماید (شکل B ۱۶).

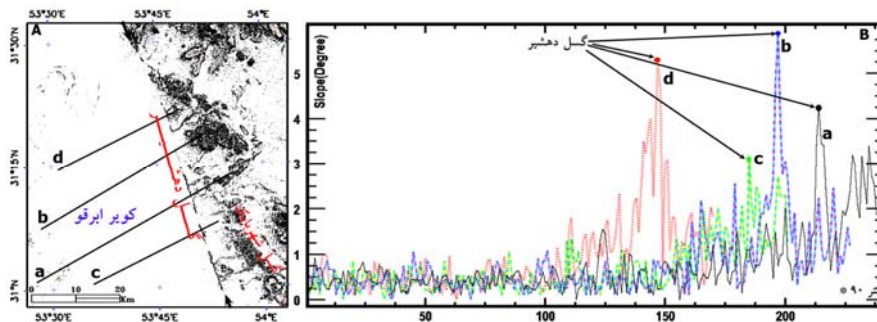


شکل ۱۵. تجزیه و تحلیل شبکه زهکشی در ناحیه دهشیر

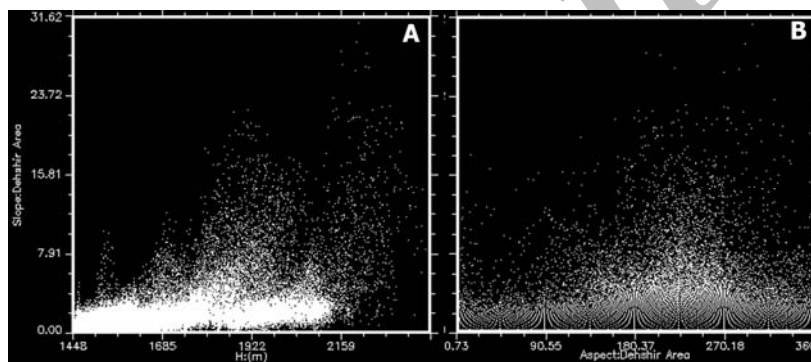
(A) شبکه زهکشی استخراج شده از SRTM - خطوط ممتد منحنی تراز را نشان می‌دهند، (B) تاثیر تکتونیک گسل دهشیر بر شبکه زهکشی (قطع، جابجاشدگی، انحراف) در امتداد گسل دهشیر، (C) سطح واریوگرام نقشه شبکه زهکشی استخراج شده از SRTM بیانگر غلبه شبکه‌های زهکشی در جهات NE-SW در ناحیه دهشیر می‌باشد.

**آنالیز شیب:** شیب یکسان در نقشه‌های توپوگرافی در جاهائیکه خطوط تراز اصلی دارای فواصل یکسان می‌باشند مورد انتظار است (شکل ۱۶). براساس درصد تجمعی منحنی مساحت - شیب (Jordan, ۲۰۰۳) نواحی را می‌توان به دشت ( $0-1^\circ$ )، نیمه هموار (شیب  $4/5^\circ-1/5^\circ$ )، پشته مانند (شیب  $9^\circ-4/5^\circ$ )، تپه ماهور (شیب  $16/7^\circ-9^\circ$ ) و کوهستانی ( $16/7^\circ >$ ) طبقه بندی نمود (فائو، ۱۹۹۰) (شکل A ۱۶).

نمایش نقشه شیب این کلاس‌ها، حواشی تیز و تند گسل دهشیر در امتداد SE-NW و مرز واحد کوهستان (گسل جبهه کوهستان، گسل شهرباک) و دشت (کویر ابرقو) در همین امتداد را نشان می‌دهد (شکل شماره ۱۶). شیب‌های بیش از ۱ درجه در ارتفاع بالاتر از ۱۶۸۵m گسترده شده‌اند (شکل A ۱۷)، و جهات رو به جنوب- جنوب غربی شیب بیشتری دارند (شکل B ۱۷).

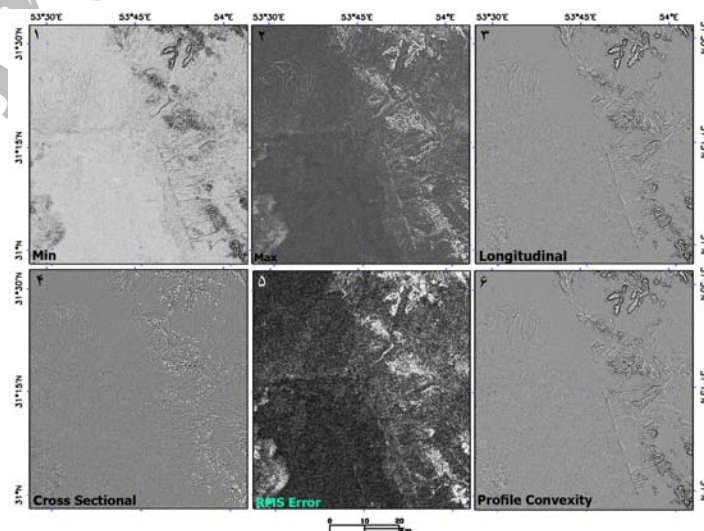


شکل ۱۶. تجزیه و تحلیل شیب: (A) نقشه شیب، به تغییرات شیب در راستای گسل دهشیر توجه شود، (B) پروفیل‌های سوپرایمپوزه تغییرات ناگهانی شیب در جهت عمود بر گسل دهشیر و محل اثر گسل دهشیر را نشان می‌دهند.



شکل ۱۷. تجزیه و تحلیل شیب: رابطه شیب- ارتفاع (A) و شیب- جهت (B) در ناحیه دهشیر (ژئومورفومتری رقومی)

**مدل‌های توپوگرافی:** با اعمال دوبار متوالی فیلتر میانگین متحرک  $3 \times 3$  بر روی SRTM و نرم شدن آن، مدل‌های توپوگرافی هشتگانه استخراج شده‌اند. از آنجائیکه مدل‌های شیب، جهت و برجستگی سایه‌دار در بخش‌های قبل بدان پرداخته شده در اینجا (شکل ۱۸) سایر مدل‌ها (۱- انحناى حداقل، ۲- انحناى حداکثر، ۳- تحدب در جهت طول جغرافیایی، ۴- تحدب نیمرخ، ۵- خطای RMS، ۶- تحدب پروفیل) محاسبه شده‌اند.

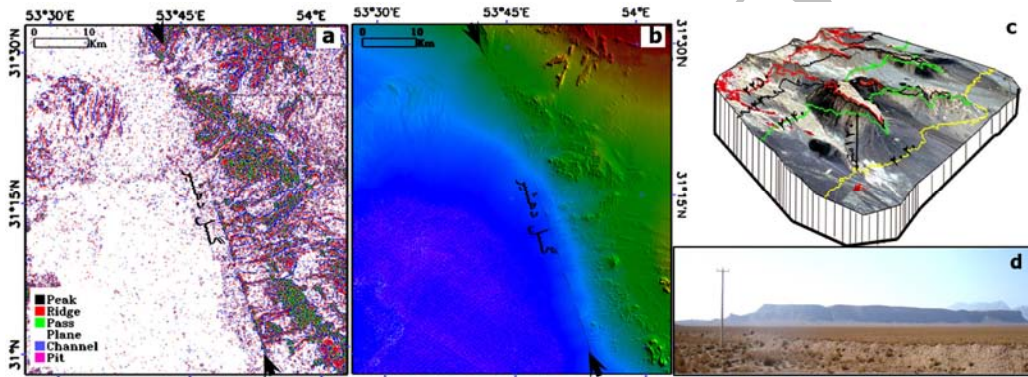


شکل ۱۸. مدل‌های توپوگرافی ناحیه دهشیر (استخراج شده از SRTM) و نقش آنها در بازبانی عناصر خطی و خطوطاره‌ها ناحیه دهشیر



همانطور که در شکل ۱۸ (۶-۱) بخوبی نشان داده شده است، این مدل‌ها می‌توانند مناطقی را که تحت تاثیر تکتونیک واقع شده‌اند را بخوبی نشان دهند. مقایسه مدل‌های فوق کارآیی ۴ مدل؛ تحدب پروفیل، تحدب در جهت طول جغرافیایی، انحنای حداقل و انحنای حداکثر در شناسایی موقعیت گسل دهشیر را بخوبی نشان داد است. نتایج تحدب سطح، تحدب پروفیل و خطای RMS در ارزیابی موقعیت خطواره‌های گسلی ناحیه یکسان بوده است.

**اشکال توپوگرافی:** با اعمال فیلتر میانگین متحرک ۵×۵ بر روی SRTM و با احتساب ۵ برای تلورانس شیب<sup>۱</sup> و ۰.۸ برای منحنی‌ها<sup>۲</sup> اشکال توپوگرافی (قله‌ها، خط الرأس‌ها، گذرگاه‌ها و گردنه‌ها، سطوح صاف، کانال‌ها و آبراهه‌ها، گودال‌ها) موثر در تجزیه و تحلیل‌های مورفوتکتونیک استخراج شده‌اند (شکل ۱۹a و جدول ۴).



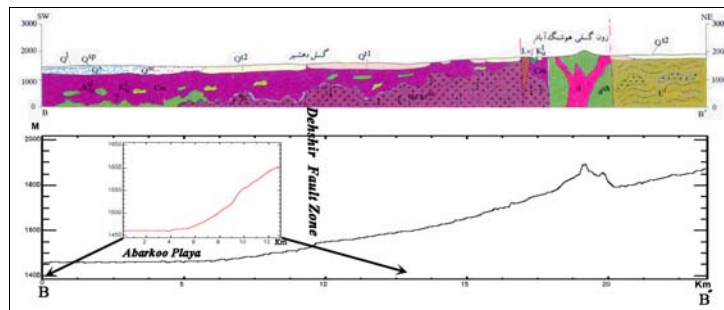
شکل ۱۹. (a) اشکال توپوگرافیک (قلل، پشته‌ها و میان‌آبها، گردنه‌ها، سطوح هموار، بستر زهکش‌ها، گودال‌ها) در ناحیه دهشیر استخراج شده از SRTM، (b) تصویر سایه‌دار استخراج شده از SRTM ناحیه دهشیر و موقع اثر گسل دهشیر، (d) تصویر Aster ۱۲۳ همپوشانی شده بر روی SRTM سطوح فرسایشی شرق دهشیر را نشان می‌دهند، عکس صحرائی یکی از سطوح فرسایشی در شرق دهشیر

جدول ۴. توزیع آماری کلاس‌های اشکال توپوگرافیک در ناحیه دهشیر

نام کلاس	بدون طبقه بندی	قلل	خط الرأس	گردنه	سطح صاف	کانال	گودال	مجموع
درصد	۰/۰	۰/۸۲۱	۷/۴۸۸	۲/۴۳۰	۷۹/۷۷۶	۹/۱۱۶	۰/۳۶۹	۱۰۰

### مقایسه موردی نیمرخ زمین شناسی و نیمرخ ارتفاعی مستخرج از SRTM

مقایسه نتایج حاصل از روش DTA (جدول ۱ و ۲)، با داده‌های موجود (نقشه‌های زمین شناسی ۱/۱۰۰۰۰۰ منطقه (شکل C ۱) و توپوگرافی ۱/۲۵۰۰۰ و سایر اطلاعات بانک داده‌ها) همپوشانی خطواره‌ها، خطوط تراز و سایر داده‌های استخراج شده از SRTM را با آنها نشان می‌دهد. ترسیم نیمرخ طولی (Profile length) در راستای نیمرخ زمین شناسی موجود در نقشه زمین شناسی ۱/۱۰۰۰۰۰ دهشیر بیانگر تطابق شکلی دو نیمرخ می‌باشد (شکل ۲۰).



شکل ۲۰. مقایسه موقعیت گسل دهشیر بر روی پروفیل زمین شناسی و SRTM (۲۰\*)

1- Slope Tolerances  
2- Curvature Tolerance

تمام خطواره‌های استخراجی؛ اثر گسل، شبکه زهکشی و خط‌الرأس‌ها و ... دقیقاً بر نقشه زمین‌شناسی، توپوگرافی و همچنین تصاویر TM و ETM+ و Quikbreed و IRS ناحیه منطبق می‌باشند. دقت پارامترهای اشکال استخراجی حاصل بیش از نقشه‌های زمین‌شناسی (۱/۱۰۰۰۰۰) و توپوگرافی (۱/۵۰۰۰۰) و در حد نقشه‌های ۱/۲۵۰۰۰ رقومی سازمان نقشه‌برداری می‌باشد. در نتیجه نه تنها تطابق آنها با واقعیت موجود را نشان می‌دهد بلکه این روش می‌تواند در تصحیح این نقشه‌ها مورد استفاده قرار گیرند.

## نتیجه‌گیری

نتایج این تحقیق نشان می‌دهد: روش آنالیز عوارض رقومی ارائه شده در این تحقیق با بهره‌گیری از ابزارهای متنوع توانسته است پارامترها و اشکال مورفوتکتونیک متنوعی را از SRTM جهت تجزیه و تحلیل‌های مورفوتکتونیک فراهم آورد. این روش در حقیقت، روشی سلسله‌مراتبی جهت آماده نمودن داده‌های اولیه از SRTM و داده‌های رقومی می‌باشد. تکنیک‌های پردازش تصاویر همچون: نرم کردن تصویر (فیلتر گذر بالا و پائین)، فیلتر نمودن تصویر و ... در این بررسی بدلیل؛ ارتقاء دید بصری، تصحیح طبقه‌بندی‌ها، تفکیک مرز واحدهای مورفولوژی (و در مواردی لیتولوژی) و مورفوتکتونیک، آشکارسازی الگوهای غالب، تفوق پارامتر منتخب توسط کاربر و تشدید عارضه مرتبط با آن، کمک زیادی جهت تحلیل اشکال مورفوتکتونیک و مطالعات مورفوتکتونیک داشته است.

آنالیز رقومی ارتفاع با بهره‌گیری از سطح واریوگرام نشان داد که الگوی ساختمانی ناحیه مورد بررسی در جهت شمال‌غربی - جنوب‌شرق کشیده شده است. موقعیت و ارتفاع پرنگاه گسل دهشیر به کمک تکنیک ترسیم هیپسوگراف و پروفیل طولی کاملاً مشخص گردید. تجزیه و تحلیل جهات بیانگر جهات غالب رو به جنوب غربی و عمود بر بردارهای همگرایی صفحه ایران - عربستان می‌باشد. با بهره‌گیری از روش DTA مشخص شده که الگوی غالب شبکه زهکشی ناحیه جهت جنوب‌غربی را نشان می‌دهد. تکنیک‌های مختلف پروفیل همچنین موقعیت مکانی و فضایی گسل دهشیر را بهتر مشخص نموده‌اند. ترکیب نتایج تجزیه و تحلیل شبکه زهکشی و ارتفاعی نشان داد که گسل دهشیر گسلی نرمال، راستالغز و امتدادی بوده و در طی کواترنر فعال می‌باشد (جابجایی لندفرم‌های کواترنر). این گسل باعث فرورفت تقریباً ۵۰ متری کفه ابرقو و تشدید فرسایش قهقرایی شبکه آبها و پیدایش سطوح فلاتی شکل بر روی فرادیواره شده است.

از مدل‌ها توپوگرافی بکاربرده شده جهت تعیین ساختار مورفوتکتونیک ناحیه تحدب پروفیل، تحدب در جهت طول جغرافیایی، انحنای حدائق و انحنای حداکثر در شناسایی مرز واحدهای مورفوتکتونیک ناحیه کارآیی بیشتری دارند. همچنین از میان اشکال توپوگرافی استخراج شده شبکه آبها در شناسایی موقعیت گسل دهشیر شاخص‌تر بوده و علاوه بر آن الگوی راستالغز آن را آشکار نموده است.

براساس شواهد مورفوتکتونیک فعال استخراج شده از SRTM، ناحیه دهشیر از نظر تکتونیک ناحیه‌ای فعال محسوب شده و با بهره‌گیری از سایر منابع داده سنجش از دور (از قبیل؛ تصاویر Aster، ETM+، TM، IRS، Quikbreed) می‌توان اطلاعات کاملتری از تکتونیک فعال ناحیه بدست آورد. بالطبع بررسی‌های صحرائی در مطالعات مورفوتکتونیک نتایج سودمندی داشته و باید اطلاعات حاصل در میدان کنترل گردد.

این تحقیق نشان داد که استفاده از تکنیک سنجش از دور و SRTM می‌تواند اطلاعات نسبتاً کاملی از الگوها و ساختارهای مورفولوژی هر ناحیه را در کمترین زمان و هزینه فراهم آورد. نتایج نشان می‌دهند؛ جهت استخراج نقشه‌ها خاص موضوعی، مدل‌ها و اشکال توپوگرافی باید دقت بسیار نمود و در انتخاب نوع الگوریتم مورد استفاده متناسب با مقیاس عارضه اقدام نمود.

محققین این تحقیق پیشنهاد می‌کنند که؛ در بکارگیری الگوریتم‌های مختلف باید دقت لازم را بعمل آورد و جهت جلوگیری از خطای نرم افزاری باید نتایج حاصل بوسیله سایر تصاویر انعکاسی (از قبیل؛ تصاویر Aster، ETM+، TM، IRS،

Quickbreed) کنترل گردد. علاوه بر آن باید مقیاس هر لندفرم در بکارگیری نوع الگوریتم و منابع داده مورد توجه قرار گیرد.

## منابع

- Aghanabati, S.A., 2005. **Geology of Iran**, Geological Survey Of Iran, Tehran
- Burbank, D.W., Anderson, R.S., 2001. **Tectonic Geomorphology**. Blackwell Science, Malden.
- Frisch, W. (Ed.), 1997. **Tectonic Geomorphology**. In Proceeding of the Fourth Int'l. Conf. on Geomorphology, Z. Geomorphol. N.F., Supplementary Band, 118.
- Keller, E.A., Pinter, N., 1996. **Active Tectonics: Earthquakes, Uplift and Landforms**. Prentice Hall, New Jersey.
- Byrd, J.O.D., Smith, R.B., Geissman, J.W., 1994. **The Teton fault, Wyoming: neotectonics, and mechanisms of deformation**. J. Geophys. Res. 99 (B10), 20095–20122.
- Chorowicz, J., Breard, J., Guillaude, R., Morasse, C., Prudon, D., Chorowicz, J., Parrot, J., Taud, H., 1995. **Automated patten-recognition of geomorphic features from DEMs and satellite images**. Z. Geomorpholy. Supplementary Band 101, 69–84.
- Chorowicz, J., Collet, B., Bonavia, F.F., Mohr, P., Parrot, J.F., Korme, T., 1998. **The Tana basin, Ethiopia: intra-plateau uplift, rifting and subsidence**. Tectonophysics 295, 351–367.
- Chorowicz, J., Dhont, D., Gundogdu, N., 1999. **Neotectonics in the eastern North Anatolian fault region (Turkey) advocates crustal extension: mapping from SAR ERS imagery and Digital Elevation Model**. J. Struct. Geol. 21, 511–532.
- Chorowicz, J., Kim, J., Manoussis, S., Rudant, J., Foin, P., Veillet, I., 1989. **A new techniqe for recognition of geological and geomorphological patterns in digital terrain models**. Remote Sens. Environ. 29, 229–239.
- Clark, C.D., Wilson, C., 1994. **Spatial analysis of lineaments**. Comput. Geosci. 20, 1237–1258.
- Collet, B., Taud, H., Parrot, J.F., Bonavia, F., Chorowicz, J., 2000. **A new kinematic approach for the Danakil blocks using a Digital Elevation Model representation**. Tectonophysics 316, 343–357.
- Deffontaines, B., Chorowicz, J., 1991. **Principles of drainage basin analysis from multi-source data: application to the structural analysis of the Zaire Basin**. Tectonophysics 194, 237–263.
- Doornkamp, J.C., 1972. **Trend-surface analysis of planation surfaces, with an East-African case study**. In: Chorley, R.J. (Ed.), Spatial Analysis in Geomorphology, Methuen, London, pp. 247–281.
- Drury, S.A., 1987. **Image Interpretation in Geology**. Allen and Unwin, London.
- Evans, I.S., 1972. **General Geomorphometry, derivatives of altitude, and descriptive statistics**. In: Chorley, R.J. (Ed.), Spatial Analysis in Geomorphology, Methuen, London, pp. 17–90.
- Florinsky, I.V., 1996. **Quantitative topographic method of fault morphology recognition**. Geomorphology 16, 103–119.
- Florinsky, I.V., 1998. **Combined analysis of digital terrain models and remotely sensed data in landscape investigations**. Prog. Phys. Geogr. 22, 33–60.
- Florinsky, I.V., 2000. **Relationship between topographically expressed zones of flow accumulation and sites of faults intersection: analysis by means of digital terrain modelling**. Environ. Modell. Software 15, 87–100.
- Fraser, A.J., Huggins, P., Cleverley, P., Rees, J.L., 1995. **A satellite remote-sensing technique for geological horizon structure mapping**. SEG Annual Meeting, Expanded Technical Program Abstracts with Biographies. In: Society of Exploration Geophysicists. Tulsa, OK, United States pp. 65, 134–137.
- Garbrecht, J., Martz, L.W., 1995. **Agricultural Research Service Publication NAWQL 95-3, in: TOPAZ: An Automated Digital Landscape Analysis Tool For Topographic Evaluation, Drainage Identification, Watershed Segmentation and Subcatchment Parametrisation: TOPAZ User Manual**. U.S. Department of Agriculture, 95-3, Washington, DC.
- Ghasemmi, M., 2008. **Fundamentals of Structural Geology**, Geological Survey Of Iran, Tehran
- Goorabi, Abolghasem, 2009. **Effect of Neotectonics on Evolution of Quaternary Landforms in Central Iran (Case Study on Dehshir and Anar Faults)**. University of Tehran
- Goorabi, A., Nohegar, A., 2007. **Geomorphic Indices of Active Tectonics in Darakeh Basin**, Physical Geography Research, No.60, pp177-196
- Harrison, J.M., Lo, C., 1996. **PC-based two-dimensional discrete spectral transform programs for terrain analysis**. Comput. Geosci. 22, 419–424.
- Jordan, G., Csillag, G., 2001. **Digital terrain modelling for morphotectonic analysis: a GIS framework**. In: Ohmori, H. (Ed.), G. Jordan et al. / International Journal of Applied Earth Observation and Geoinformation 7 (2005) 163–182 181

- Jordan, G., Csillag, G., 2003. **A GIS framework for morphotectonic analysis—cases study.** Proceedings of Fourth European Congress on Regional Geoscientific Cartography and Information Systems, 17–20 June 2003. Bologna, Italy. Proceedings, vol. 2. Regione Emilia-Romana, Servizio Geologico, Bologna, pp. 516–519.
- Jordan, G., Csillag, G., Szucs, A., Qvarfort, U., 2003. **Application of digital terrain modelling and GIS methods for the morphotectonic investigation of the Kali Basin, Hungary.** *Z. Geomorphol.* 47, 145–169.
- Koike, K., Nagano, S., Kawaba, K., 1998. **Construction and analysis of interpreted fracture planes through combination of satellite image derived lineaments and digital elevation model data.** *Comput. Geosci.* 24, 573–583.
- Martz, L.W., Garbrecht, J., 1992. **Numerical definition of drainage networks and subcatchment areas from digital elevation models.** *Comput. Geosci.* 18, 747–761.
- McCullagh, M.J., 1988. **Terrain and surface modelling systems: theory and practice.** *Photogrammetric Rec.* 12, 747–779.
- Onorati, G., Poscolieri, M., Ventura, R., Chiarini, V., Crucilla', U., 1992. **The digital elevation model of Italy for geomorphology and structural geology.** *Catena* 19, 147–178.
- Prost, G.L., 1994. **Remote sensing for geologists. In: A Guide to Image Interpretation, Gordon and Breach Science Publishers, Amsterdam.** Ramsay, J.G., Huber, M.I., 1987. *The Techniques of Modern Structural Geology. Vol. 2. Folds and Fractures.* Academic Press, London.
- Sabzehei, M., 1987. **Dictionary Of Geology And Related Sciences,** Second Edition, University of Kerman, Kerman
- Salvi, S., 1995. **Analysis and interpretation of Landsat synthetic stereo pair for the detection of active fault zones in the Abruzzi Region (Central Italy).** *Remote Sens. Environ.* 53, 153–163.
- Siegal, B.S., Gillespie, A.R., 1980. **Remote Sensing in Geology.** John Wiley and Sons, New York.
- Simpson, D.W., Anders, M.H., 1992. *Tectonics and topography of the - Western United States - an application of digital mapping.* *GSA Today* 2, 118–121.
- Software: ILWIS, 1997. **The Integrated Land and Water Information System. Reference Guide.** ILWIS Department, ITC, Enschede.
- WEB: <http://glcf.umiacs.umd.edu/index.shtml>

Archive